

UNIVERZITA PARDUBICE
Fakulta elektrotechniky a informatiky

**ŘÍZENÍ TEPLoty V MÍSTNOSTI POMOCÍ ELETRONICKÉ
REGULACE VENTILU TOPNÉHO TĚLESA**

Marek Lochman

Bakalářská práce

2015

Univerzita Pardubice
Fakulta elektrotechniky a informatiky
Akademický rok: 2013/2014

ZADÁNÍ BAKALÁŘSKÉ PRÁCE

(PROJEKTU, UMĚLECKÉHO DÍLA, UMĚLECKÉHO VÝKONU)

Jméno a příjmení: **Marek Lochman**
Osobní číslo: **I11329**
Studijní program: **B2646 Informační technologie**
Studijní obor: **Řízení procesů**
Název tématu: **Řízení teploty v místnosti pomocí elektronické regulace ventilu topného tělesa**
Zadávající katedra: **Katedra řízení procesů**

Z á s a d y p r o v y p r a c o v á n í :

Cílem práce je hardwarová a softwarová realizace řídicího systému na bázi mikrokontroléru Atmel AVR (řady ATmega8), který bude ovládat servopohon ventilu topného tělesa a řídit tak teplotu v místnosti. Řídicí systém bude prostřednictvím čidla průběžně měřit aktuální teplotu, přičemž její průběh v závislosti na čase bude možné graficky znázornit. Aplikace bude umožňovat uživatelskou volbu nastavení požadované teploty pro danou denní dobu (možnost více přednastavených teplot během dne).

Rozsah grafických prací:

Rozsah pracovní zprávy:

Forma zpracování bakalářské práce: **tištěná/elektronická**

Seznam odborné literatury:

- [1] VÁŇA, V. Mikrokontroléry ATMEL AVR: popis procesoru a instrukční soubor. Praha: BEN - technická literatura, 2003. 336 s. ISBN 978-80-7300-083-0.
- [2] VÁŇA, V. Mikrokontroléry ATMEL AVR: programování v jazyce C. Praha: BEN - technická literatura, 2003. 216 s. ISBN 978-80-7300-102-0.
- [3] VLACH, J. Řízení a vizualizace technologických procesů. Praha: BEN - technická literatura, 2002. 160 s. ISBN 978-80-86056-66-X.
- [4] VALTER, J. Regulace v praxi: aneb jak to dělám já. Praha: BEN - technická literatura, 2010. 176 s. ISBN 978-80-7300-256-5.

Vedoucí bakalářské práce:

Ing. Libor Kupka, Ph.D.

Katedra řízení procesů

Datum zadání bakalářské práce:

18. listopadu 2013

Termín odevzdání bakalářské práce:

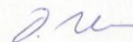
9. května 2014



prof. Ing. Simeon Karamazov, Dr.
děkan



L.S.



Ing. Daniel Honc, Ph.D.
vedoucí katedry

V Pardubicích dne 31. března 2014

Prohlášení autora:

Prohlašuji, že tuto práci jsem vypracoval samostatně. Veškeré literární prameny a informace, které jsem v práci využil, jsou uvedeny v seznamu použité literatury.

Byl jsem seznámen s tím, že se na moji práci vztahují práva a povinnosti vyplývající ze zákona č. 121/2000 Sb., autorský zákon, zejména se skutečností, že Univerzita Pardubice má právo na uzavření licenční smlouvy o užití této práce jako školního díla podle § 60 odst. 1 autorského zákona, a s tím, že pokud dojde k užití této práce mnou nebo bude poskytnuta licence o užití jinému subjektu, je Univerzita Pardubice oprávněna ode mne požadovat přiměřený příspěvek na úhradu nákladů, které na vytvoření díla vynaložila, a to podle okolností až do jejich skutečné výše.

Souhlasím s prezenčním zpřístupněním své práce v Univerzitní knihovně.

V Pardubicích dne 26.4. 2015

Marek Lochman

Poděkování

Chtěl bych poděkovat vedoucímu práce, Ing. Liboru Kupkovi, Ph.D., za konzultace při tvorbě této práce a poskytnutí odborných rad.

V Pardubicích dne 26. 4. 2015

Marek Lochman

ANOTACE

Cílem práce je hardwarová a softwarová realizace řídicího systému na bázi mikrokontroléru Atmel AVR (řady ATmega8), který bude ovládat servopohon ventilu topného tělesa a řídit tak teplotu v místnosti. Řídicí systém bude prostřednictvím čidla průběžně měřit aktuální teplotu, přičemž její průběh v závislosti na čase bude možné graficky znázornit. Aplikace bude umožňovat uživatelskou volbu nastavení požadované teploty pro danou denní dobu (možnost více přednastavených teplot během dne).

KLÍČOVÁ SLOVA

Měření teploty, regulace, mikroprocesor, h-můstek.

TITLE

ROOM TEMPERATURE CONTROL USING THE ELECTRONIC HEATER CONTROL VALVE

ABSTRACT

The aim of this thesis is hardware and software implementation of a control system based on a microcontroller Atmel AVR (ATmega8 series), which will control the servo drive of the heater valve and thus control the temperature in the room. The control system will continuously measure the current temperature using a sensor, whereby its course depending on the time will be possible to depict graphically. The application will allow user to set desired temperature for a given daytime (the possibility of more preset temperatures during a day).

KEYWORDS

Thermostatic valve control, microprocessor, h-bridge.

Obsah

Seznam zkratk	9
Seznam značek	10
Seznam obrázků	11
Seznam tabulek	12
ÚVOD	13
1 TEORETICKÁ ČÁST	14
1.1 VENTILY TOPNÉHO TĚLESA	14
1.1.1 Termostatický ventil	14
1.2.2 Termostatická hlavice	15
1.2 MĚŘENÍ TEPLoty	15
1.3 OPTICKÁ ZÁVORA	16
1.4 I2C	16
1.4.1 Princip přenosu	17
1.5 H MŮSTEK	17
1.6 RTC	18
1.7 RS232	19
1.7.1 Způsob komunikace RS232	19
1.7.2 Asynchronní přenos	19
1.8 MIKROPROCESOR	20
1.8.1 USART	20
1.8.2 Obecný popis čítače/časovače	20
1.8.3 Režimy čítače/časovače 0	21
2 REALIZACE	22
2.1 REGULACE	22
2.2 TMP275	23
2.3 FT232RL	23
2.3.1 Popis zapojení FT232RL	23
2.4 DS1307	24
3 HARDWAROVÁ REALIZACE	25
3.1 VOLBA MIKROPROCESORU	25
3.2 NAPAJECÍ ZDROJ	26
3.2.1 Popis schématu zapojení napájecího zdroje	27

3.3 REGULAČNÍ ZAŘÍZENÍ.....	27
3.3.1 Popis zapojení regulačního zařízení.....	28
3.4 ZAŘÍZENÍ TERMO HLAVICE	30
3.4.1 Popis zařízení termo hlavice	30
3.4.2 Popis schématu zapojení termo hlavice	31
4 GRAFICKÝ SOFTWARE	32
4.1 POPIS GRAFICKÉ ČÁSTI.....	32
ZÁVĚR	33
Literatura.....	35
Přílohy.....	36

Seznam zkratek

A/D	analogově digitální převodník
I ² C	multimasterová počítačová sériová sběrnice
LCD	displej z tekutých krystalů
LED	dioda emitující světlo
PWM	pulzně šířková modulace
SPI	sériové periferní rozhraní
USART	univerzální synchronní/asynchronní přijímač a vysílač

Seznam značek

I	elektrický proud, A
R	elektrický odpor, Ω
U	elektrické napětí, V

Seznam obrázků

Obr. 1.1 – Řez termostatickým ventilem (Matz, 2009)	14
Obr. 1.2 – Řez termostatickou hlavicí (TA Hydronics, 2006).....	15
Obr. 1.3 – Optická závora	16
Obr. 1.4 – Příklad zapojení MASTER – SLAVE	16
Obr. 1.5 – Příklad přenosu I ² C na vodičích SDA a SCL (Olejár, 2000).....	17
Obr. 1.6 – Proud při otáčení motoru po směru hodinových ručiček	18
Obr. 1.7 – Proud při otáčení motoru proti směru hodinových ručiček	18
Obr. 1.8 – Příklad asynchronního přenosu (Olmr, 2005).....	19
Obr. 1.9 – Blokové schéma čítače/časovače 0	20
Obr. 1.10 – Režim fázově korigovaný PWM (Tůma, 2011).....	21
Obr. 1.10 – Režim fázově korigovaný PWM (Tůma, 2011).....	22
Obr. 2.1 – Blokové schéma TMP275.....	23
Obr. 2.2 – Schéma zapojení FT232RL	24
Obr. 2.3 – Schéma zapojení DS1307	25
Obr. 3.1 – Blokové schéma procesoru ATmega48	26
Obr. 3.2 – Schéma zapojení zdroje	27
Obr. 3.3 – Fotografie regulačního zařízení	28
Obr. 3.4 – Schéma zapojení regulačního zařízení.....	29
Obr. 3.5 – Fotografie zařízení termohlavice	30
Obr. 3.6 – Schéma zapojení termohlavice	31
Obr. 4.1 – Nastavení požadovaných hodnot	32
Obr. 4.2 – Definování sepnutí zásuvky	33
Obr. 4.3 – Grafické zobrazení	33

Seznam tabulek

Tab.1.1 – Tabulka pro nastavení čítače/časovače 0	21
---------------------------------------------------------	----

ÚVOD

Cílem bakalářské práce je vytvořit zařízení pro ovládání teploty v místnosti nahrazením hlavice termostatického ventilu topení. Pomocí tepelného čidla získává zařízení informace o aktuální teplotě v místnosti. Po porovnání s požadovanou hodnotou dle potřeby přivře nebo naopak otevře ventil. Zařízení je konstruováno tak, aby šlo aplikovat na dnes používané termostatické ventily. V softwaru zařízení je možné nastavit dvacet čtyři hodnot (pro každou jednotlivou hodinu dne) požadované teploty v místnosti. Další funkcí zařízení bude sepnutí zásuvky pro přídavné topení při překročení nejnižší požadované teploty na předdefinovaném intervalu dne.

1 TEORETICKÁ ČÁST

Tato část obsahuje teorii potřebou k sestavení regulátoru, je zde popsána teorie ventilů topného tělesa a jeho nejčastější provedení termostatický ventil. Poté je popsána funkce termostatické hlavice. Teorie měření teploty, optické závory, princip přenosu sběrnice I²C, funkce h-můstku, RTC, rozhraní RS232 a hlavní částí zařízení mikroprocesor.

1.1 VENTILY TOPNÉHO TĚLESA

Dříve používané ventily neumožňovaly automatickou regulaci topného tělesa. Záleželo pouze na uživateli, jakým způsobem ventil manuálně nastavil. Tímto způsobem ovšem nebylo možné zajistit, aby vytápění bylo rovnoměrné a hospodárné. V případě, že uživatel opustil místnost a nechal plně otevřený ventil, docházelo k přetopení prostoru. V současnosti je již tento způsob ovládání vytápění zastaralý. Nyní většina domácností využívá termostatické ventily a termostatické hlavice umožňující plynulou regulaci (Matz, 2009).

1.1.1 Termostatický ventil

Termostatický ventil se skládá z těla ventilu a vložky, která obsahuje kuželku. Tato kuželka při zatlačení omezuje přívod vody protékající ventilem. Vložka termostatického ventilu je zašroubována uvnitř ventilu. Jednotlivé vložky ventilu se liší dle tvaru kuželky, ale jejich princip zůstává stejný (Matz, 2009).



Obr. 1.1 – Řez termostatickým ventilem (Matz, 2009)

1.1.2 Termostatická hlavice

Termostatická hlavice slouží k teplotní regulaci vzduchu v místnosti. Na základě přednastavené teploty reguluje průtok teplé vody skrz termostatický ventil a následné proudění do otopného tělesa. Termostatická hlavice funguje na principu tepelné roztažnosti, kdy citlivá látka obsažená v řídicím snímači přímo ovlivňuje stlačení vlnovce. Ten tlačí na kuželku ventilu a reguluje tak průtok média topením (Matz, 2009).



Obr. 1.2 – Řez termostatickou hlavicí (TA Hydronics, 2006)

1.2 MĚŘENÍ TEPLoty

Teplota je jednou ze základních jednotek fyzikální soustavy SI. Přesto její fyzikální definice je obtížná. Nejvíce se udává pojem, že látka při kontaktu s jinou látkou bude neustále v nerovnováze, tedy zda bude dávat nebo naopak přijímat teplo. Výše teploty se udává za pomoci jednotek tepla Kelvin (K), stupeň Celsia ($^{\circ}\text{C}$), stupeň Fahrenheita (F) nebo Rankinův stupeň ($^{\circ}\text{R}$). Teplotu lze dnes měřit velkým množstvím čidel a odvětví měření teploty se neustále rozvíjí. V elektronice se nejčastěji používají termočlánky, termistory, odporové teploměry a integrované obvody. Pro správný údaj naměřené teploty je důležité umístění čidla v místnosti. Například kdyby čidlo bylo umístěno u okna, vlivem slunečního záření by naměřená hodnota mohla být nepřesná. Důležitým faktorem při měření teploty je také rozlišení čidla, které udává množství informace na jednotku teploty.

1.3 OPTICKÁ ZÁVORA

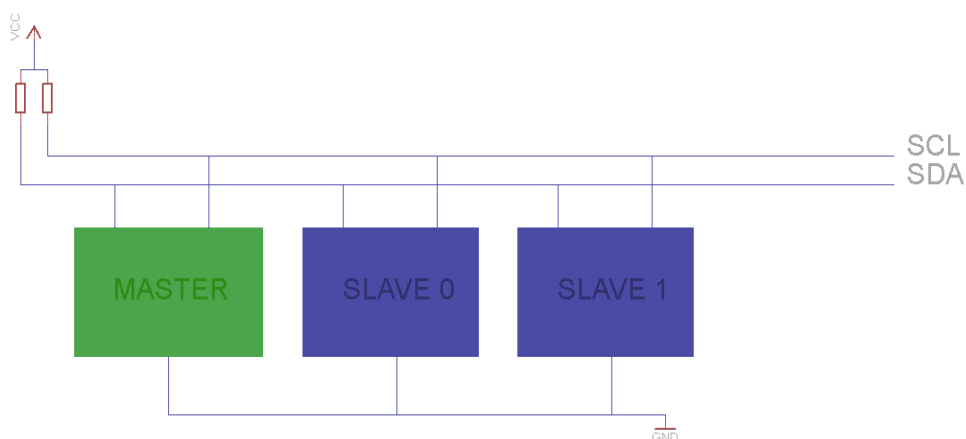
Optická závora je elektronicko-optické zařízení, skládající se z LED diody nebo laserové diody a fototranzistoru. Paprsek diody dopadá na přechod PN fototranzistorů, který se otevře a začne jím procházet proud. Pokud je přenos paprsku přerušen například listem papíru mezi diodou a fototranzistorem, dojde k uzavření PN přechodu. Tímto způsobem lze vyrábět pulzy (například pulzně šířkové modulace), které lze načítat nebo odečítat, a zjišťovat polohu otevření nebo uzavření ventilu.



Obr. 1.3 – Optická závora

1.4 SBĚRNICE I²C

Sběrnice I²C byla vyvinuta firmou Philips přibližně před 20 lety. Jedná se o vnitřní datovou sběrnici sloužící k dorozumívání integrovaných obvodů s následným přenosem dat. Největší výhodou této technologie je, že přenos probíhá obousměrně pouze po dvou vodičích, sériové datové lince SDA a lince hodinového signálu SCL, což výrazně ulehčuje zapojení. V dnešní době tento přenos využívá celá řada integrovaných obvodů – například jednočipové počítače, sériové paměti či A/D nebo D/A převodníky a další specializovaná zařízení (Olejár, 2000).

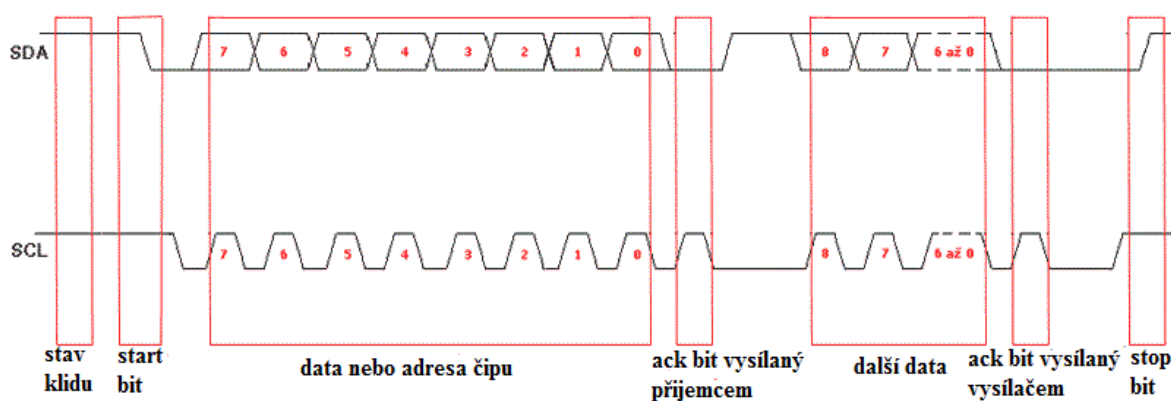


Obr. 1.4 – Příklad zapojení MASTER – SLAVE

1.4.1 Princip přenosu

Jeden nebo více integrovaných obvodů zastává roli nadřazenou (Master), ostatní jsou zapojeny jako podřízené (Slave). Master generuje hodinový signál, který slouží jako nositel informace. Při přenosu informace je nejprve nutné definovat adresu, která určuje, pro který čip jsou data určena. Poté je definováno, zda jde o čtení nebo zápis dat. Data se přenášejí po 1 bajtu od nejvíce významného bitu po nejméně významný bit. Přenos probíhá v následujících stavech (Olejář, 2000):

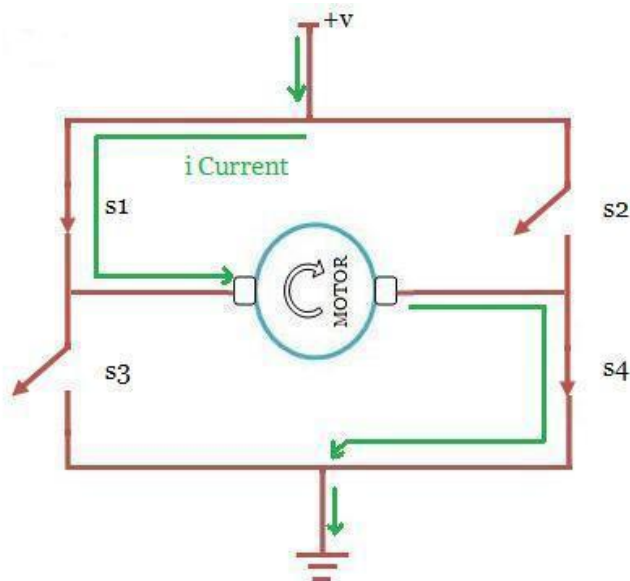
- stav klidu – na obou vodičích SDA a SCL je logická jednička; tento stav je způsoben „pull up“ rezistory
- start bit – na SDA se změní logická jednička na logickou nulu; na SCL je logická jednička; start bit zahajuje přenos
- stop bit – na SDA se změní logická nula na logickou jedničku; na SCL je logická jednička; tento stav ukončuje přenos
- bit Ack – slouží ke kontrole správného přijetí dat



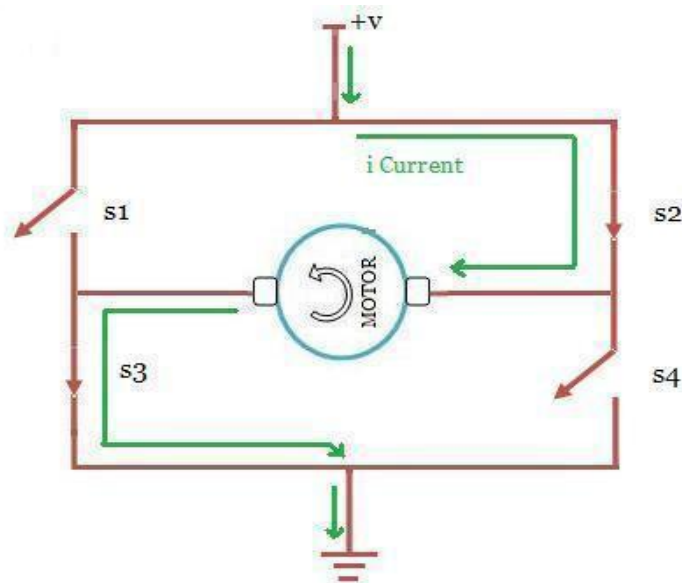
Obr. 1.5 – Příklad přenosu I²C na vodičích SDA a SCL (Olejář, 2000)

1.5 H-MŮSTEK

H-můstek je obvod se čtyřmi spínacími prvky (jedná se obvykle o bipolární nebo FET tranzistory) se zátěží uprostřed. Touto zátěží bývá obvykle stejnosměrný DC motor. Pokud chceme, aby se motor točil po směru hodinových ručiček, sepne spínače S1 a S4. Jestliže požadujeme, aby se motor točil proti směru hodinových ručiček, sepne spínače S2 a S3. Zároveň je nutné zajistit, aby nedošlo současně k sepnutí spínačů S1 a S3, případně S2 a S4, v takovém případě totiž hrozí zničení obvodu.



Obr. 1.6 – Proud při otáčení motoru po směru hodinových ručiček



Obr. 1.7 – Proud při otáčení motoru proti směru hodinových ručiček

1.6 RTC

Pokud je potřeba v jakémkoli zařízení načítat, ukládat nebo jinak zpracovávat aktuální čas, využívá se obvodu reálného času. Tyto obvody využívají ke své činnosti oscilátoru, většinou krystalu, který je zdrojem hodinového signálu. Tento signál se vydělí tak, aby bylo možné počítat vteřiny, od kterých je možné oddělovat čas. Hodiny reálného času využívají pro komunikaci s mikroprocesorem rozhraní I²C. V sestavovaném zařízení byl použit obvod DS1307.

1.7 ROZHRAŇÍRS232

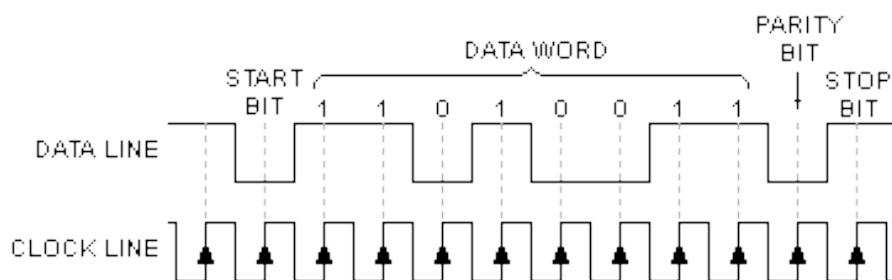
Rozhraní RS232 bylo vyvinuto pro komunikaci dvou nebo více zařízení (například počítače a tiskárny). V dnešní době se však tento způsob technologie v komunikaci s počítačem již téměř nevyskytuje a ustupuje rychlejšímu a praktičtějšímu USB. Nicméně v průmyslových aplikacích se tohoto způsobu přenosu pořád hojně využívá. Přenos probíhá synchronně nebo asynchronně (to určuje hodinový signál) od nejméně významného po nejvíce významný bit. Úrovně napětí používané rozhraním RS232 jsou pro logickou jedničku -3 až -15 V a pro logickou nulu 3 až 15 V (Olmr, 2005).

1.7.1 Způsob komunikace rozhraníRS232

RozhraníRS232 může komunikovat jak asynchronně, tak synchronně. Zpravidla se ale používá asynchronní přenos z důvodu nižšího počtu vodičů (Olmr, 2005).

1.7.2 Asynchronní přenos

Pokud neprobíhá přenos, je datová linka na vysoké úrovni napětí. Přenos využívá dvou datových linek – Rx a Tx – ale princip si vysvětlíme na jedné. Přenos začíná start bitem, kdy na sestupné hraně hodinového signálu se změní hodnota datové linky z logické jedničky na logickou nulu a nastaví se synchronizace. Tato synchronizace trvá po celou dobu stavu startu bitu a udává odchylku mezi datovým a hodinovým signálem. Poté následuje n -bitové slovo o velikosti 5 až 9 bitů. Nejčastěji se používá 8 bitů ($=1$ byte). Přenos probíhá od nejméně významného bitu (LSB) po nejvíce významný bit (MSB). Po n -bitovém slově je umístěn paritní bit, který slouží pro kontrolu správného přenosu signálu. Například sudá parita kontroluje, zda počet jedniček přenosu plus paritní bit je sudé číslo. Přenos je ukončen stop bitem, u pomalejších zařízení můžou být i dva stop bity (Olmr, 2005).



Obr. 1.8 – Příklad asynchronního přenosu (Olmr, 2005)

1.8 MIKROPROCESOR

Mikroprocesor je řídicí jednotkou celého přípravku. Řídí regulaci kovového ventilu. Při sestavování jsem vybral typ AVR ATmega48. Je to 8bitový mikroprocesor typu RISC. Disponuje dvěma sériovými rozhraními UART. Hodí se pro komunikaci přes rozhraní RS232.

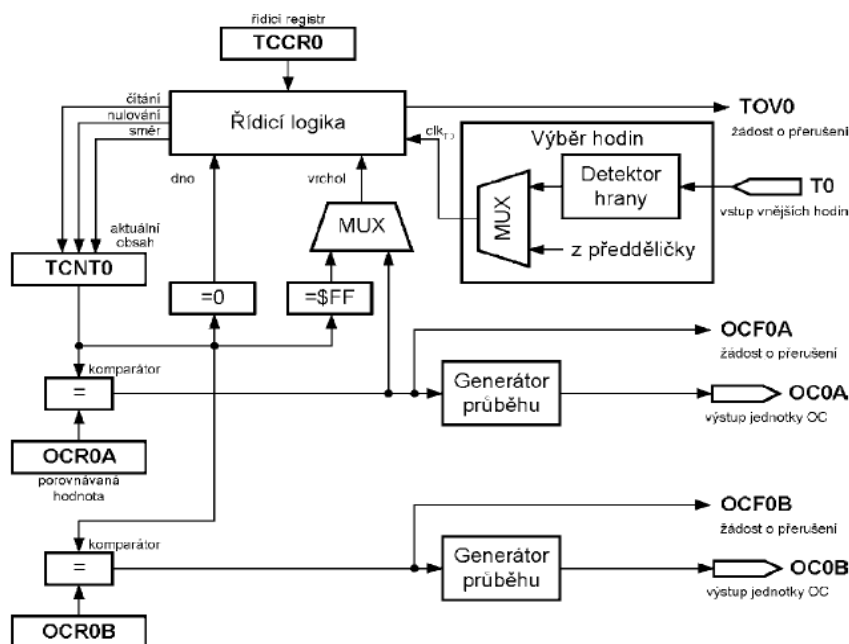
1.8.1 USART

Jedná se o univerzální komunikátor pro sériovou komunikaci podporující asynchronní a synchronní přenos. Nastavení parametru přenosu se nastaví registrem.

1.8.2 Obecný popis čítače/časovače

Jednou ze základních funkcí procesoru je funkce čítače/časovače. ATmega48 obsahuje jeden 16bitový a dva 8bitové čítače/časovače schopné pracovat v několika režimech.

Každý čítač/časovač má registr TCNTx. Tento registr obsahuje aktuální hodnotu čítače odvozeného od hodinového (taktovacího) signálu mikrořadiče. Mezi taktovacím signálem a tímto registrem je možné nastavit předděličku frekvence. Registry OCR představují takzvaný komparační registr, jehož hodnota je neustále porovnávána s obsahem TCNT. Nastane-li shoda, může dojít buď k přerušení, nebo k události dle zadaných kritérií(Matoušek, 2006).



Obr. 1.9 – Blokové schéma čítače/časovače 0

1.8.3 Režimy čítače/časovače 0

Mikroprocesor obsahuje celou řadu jednoduchých režimů čítače/časovače. Volba jednotlivých režimů se provádí pomocí hodnoty WGM (Wave Form Generation Mode), která je umístěna v registru TCCR (Matoušek, 2006).

Tab. 1.1 – Tabulka pro nastavení čítače/časovače 0

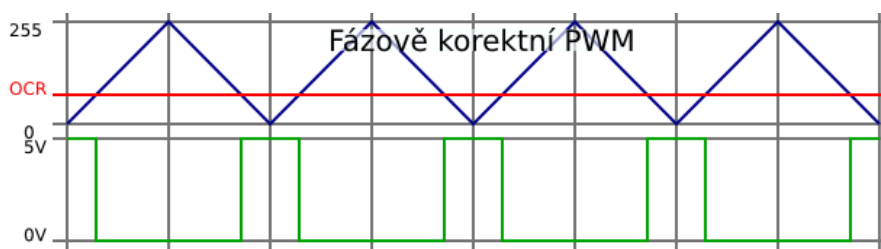
WGM	Režim	Vrchol	OCR0x	příznaku TOV0
0	normální	0xFF	okamžitě	při maximu
1	fázově korigovaný PWM	0xFF	na vrcholu	na dnu
2	CTC	OCR0A	okamžitě	při maximu
3	rychlý PWM	0xFF	na vrcholu	při maximu
4	<i>vyhrazeno (nepoužívat)</i>	–	–	–
5	fázově korigovaný PWM	OCR0A	na vrcholu	na dně
6	<i>vyhrazeno (nepoužívat)</i>	–	–	–
7	rychlý PWM	OCR0A	na vrcholu	na vrcholu

Normální režim (WGM=0)

V tomto režimu se vždy čítá nahoru do 255 kroků. Jedná se o nejjednodušší a nejrychlejší režim – pouze načítá náběžné nebo sestupné hrany od taktování procesoru. Když dosáhne svého maxima, přeteče a nastane přerušení, nebo se nastaví příznak přetečení a čítá se znovu od nuly (Matoušek, 2006).

Fázově korigovaný (WGM=1 nebo WGM = 5)

Čítá do hodnoty 255 v režimu jedna nebo do nastavené hodnoty OCR v režimu pět. Od normálního režimu se liší ve způsobu čítání, které probíhá nahoru i dolů. Pokud se dočítá do hodnoty OCR výstupní pin OCXX se změní z logické jedničky na logickou nulu (Matoušek, 2006). Příklad průběhu je na obr. 1.10.



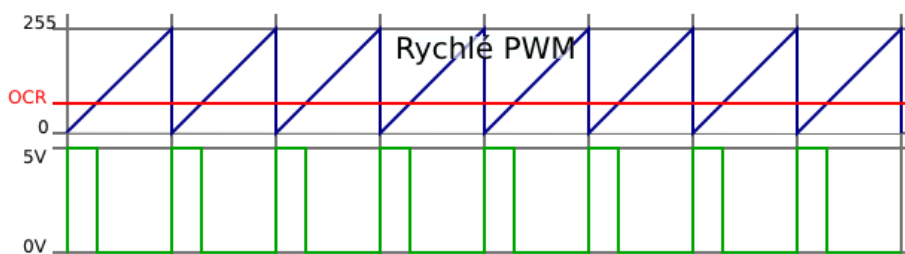
Obr. 1.10 – Režim fázově korigovaný PWM (Tůma, 2011)

CTC režim (WGM=2)

V tomto režimu se při shodě registru TCNT registrem OCR vynuluje čítač. OCR udává rozlišení čítače. Tento režim je vhodný pro měření frekvence (Matoušek, 2006).

Rychlý PWM režim (WGM = 3 nebo WGM =7)

Nejrychlejší z režimů PWM. Čítání probíhá od 0 do 255 nebo do hodnoty nastavené v OCR. Po přetečení se režim vynuluje a čítání probíhá znovu. Podobně jako u fázově korigovaného PWM nastane změna při shodě OCR a výstupního pinu OCXX. Při přetečení čítače dojde k nastavení výstupního pinu do logické jedničky. Příklad průběhu je na obr. 1.11 (Tůma, 2011).



Obr. 1.11 – Režim fázově korigovaný PWM (Tůma, 2011)

2 REALIZACE

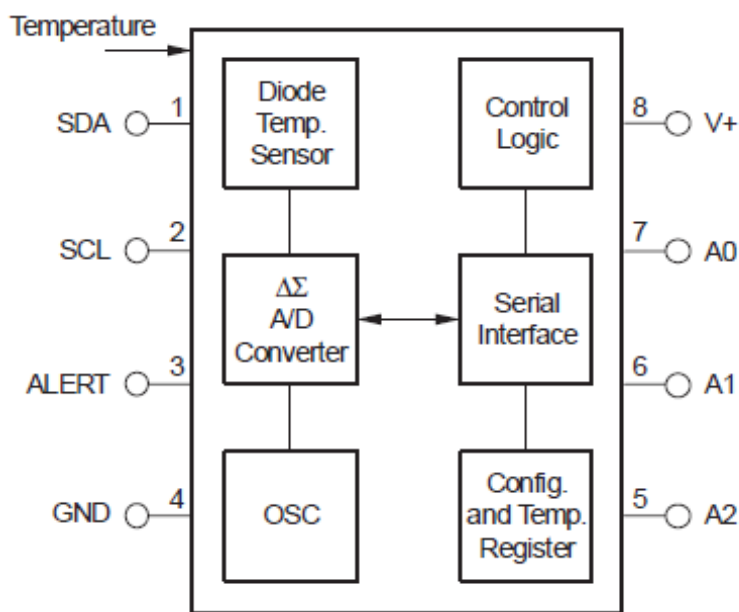
V této kapitole je popsán způsob regulace. Teplotní čidlo TMP275, které slouží pro měření teploty v místnosti. Rozhraní FT232RL přes které je zajištěna komunikace mezi počítačem a regulačním zařízením a hodiny reálného času DS1307.

2.1 REGULACE

Otočné zařízení disponuje 32 kroky, od 0, kdy je ventil zcela otevřen, až do 31, kdy je ventil naopak uzavřen a průtok teplé vody zcela zamezen. Jeden krok reprezentuje průchod paprsku fotodiody na fototranzistor. 32 kroků je rozděleno po 0,1 °C, tedy od -1,6 °C (0) až po 1,5 °C (31). Když je tedy požadovaná teplota 25 °C a teplota v místnosti 25 °C, ventil je otevřen na 15. stupni. Když požadovaná teplota v místnosti bude 26 °C a teplota v místnosti bude 25 °C, ventil se otevře na 15 - 10, tedy na 5. stupni. Když je požadovaná teplota 25 °C a okolní teplota 24 °C, tak se ventil otevře na 15 + 10, tedy na 25. stupni.

2.2 TMP275

TMP275 je integrovaný obvod pro měření teploty s přesností 0,5 °C. Podporuje komunikaci I²C. Je schopný obsluhovat až 8 zařízení po jedné sběrnici. TMP275 čte teplotu s rozlišením 0,0625 °C. Klidový odebíraný proud je 50 µA, v pohotovostním režimu je množství odebíraného proudu 0,1 µA. Napájecí napětí obvodu je 2,7 V až 5,5 V.



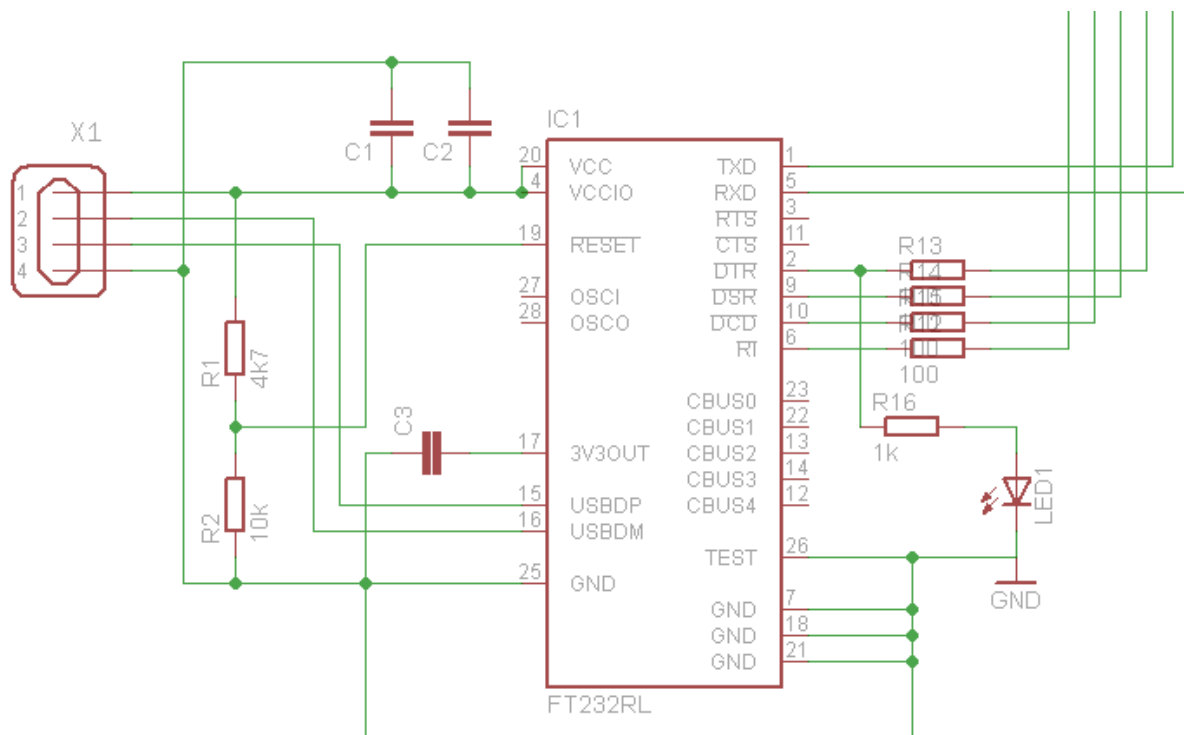
Obr. 2.1 – Blokové schéma TMP275

2.3 ROZHRAŇÍ FT232RL

Rozhraní FT232RL slouží jako prostředník mezi USB počítače a mikroprocesorovou sběrnici UART mikroprocesoru. Pro komunikaci je využito pinu RXD, který zprostředkovává data z PC a pin RXT přijímá data pro PC.

2.3.1 Popis zapojení FT232RL

Rozhraní FT232RL je zapojeno s drobnými změnami dle doporučeného zapojení z datasheetu. RXD A RXT slouží pro komunikaci s mikroprocesorem. Odpory R12 až R15 mají ochrannou funkci, dále vedou na SPI (programovací rozhraní mikroprocesoru). Toto zapojení umožňuje programování mikroprocesoru přes rozhraní SPI pomocí BITBANG modu obvodu FT232RL. Odpor R16 společně s LED diodou signalizují, že do mikroprocesoru jsou posílána data. Kondenzátorem C3 se filtruje napětí 3,3 V, které slouží jako napěťová úroveň pro datový přenos. Kondenzátory C1 a C2 filtrují napětí z USB. Piny USBDP a USBDM jsou datové piny USB komunikace, X1 je USB B konektor.



Obr. 2.2 – Schéma zapojení FT232RL

2.4 DS1307

Napájecí napětí obvodu DS1307 je 5 V. Pokud napětí klesne pod 3 V, je čip napájen ze záložní baterie. Tento obvod má velmi nízký odběr, při připojení na záložní baterii čerpá pouze 500 nA. Činnost obvodu je řízena externím krystalem pracujícím na kmitočtu 32,768 kHz.

Popis jednotlivých pinů

GND –uzemnění

X1,X2 –piny pro připojení oscilátoru

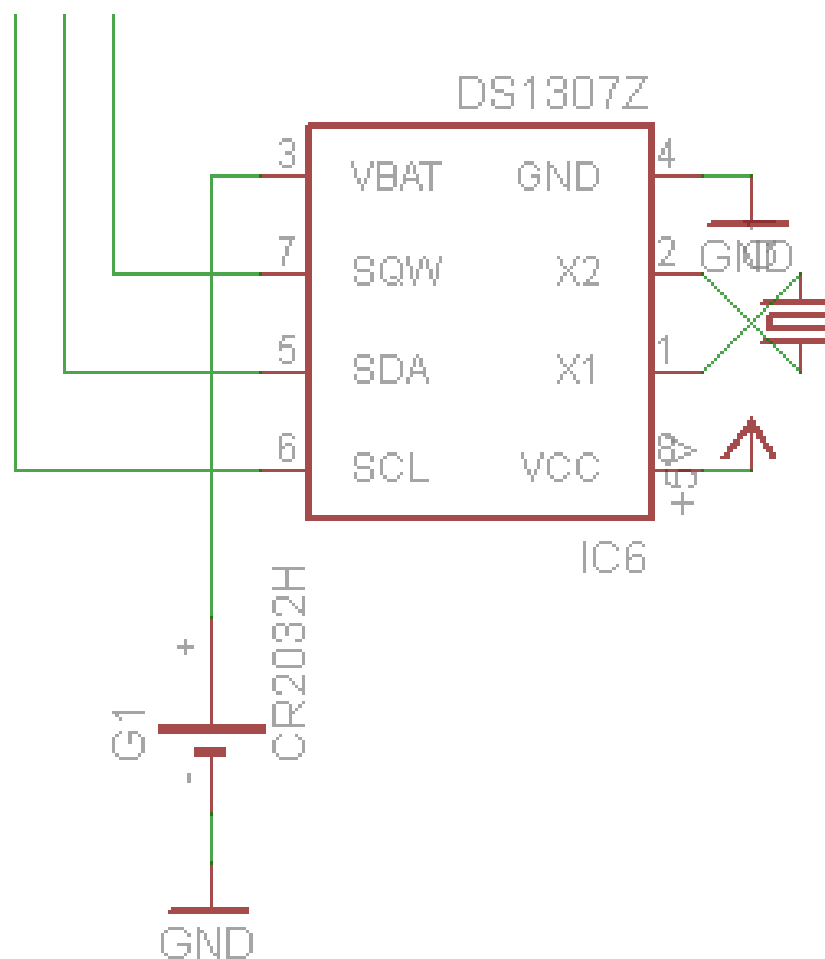
VCC – primární napájení

VBAT –pin pro připojení záložní baterie

SQW / OUT – Square Wave/Output Driver

SDA –sériová data

SCL –serialclock



Obr. 2.3 – Schéma zapojení DS1307

3 HARDWAROVÁ REALIZACE

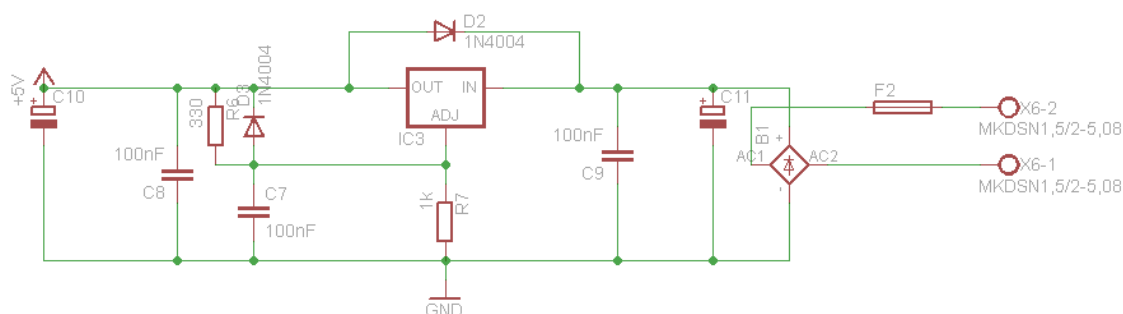
Tato kapitola zahrnuje výběr procesoru, návrh a popis zdroje, schémata zapojení popis regulačního zařízení, které obstarává regulaci a nově navržené termostatické hlavice, která funguje jako akční člen, tím že reguluje množství teplé vody procházející otopným zařízením, tedy utlumení nebo naopak otevření termostatického ventilu.

3.1 VOLBA MIKROPROCESORU

Mikroprocesor je řídicí jednotkou celého přípravku. Řídí regulaci kovového ventilu. Při sestavování jsem vybral typ AVR ATmega48. Je to 8bitový mikroprocesor typu RISC. Tento mikroprocesor disponuje dvěma sériovými rozhraními UART. Je vhodný pro komunikaci přes rozhraní RS232.

3.2.1 Popis schématu zapojení napájecího zdroje

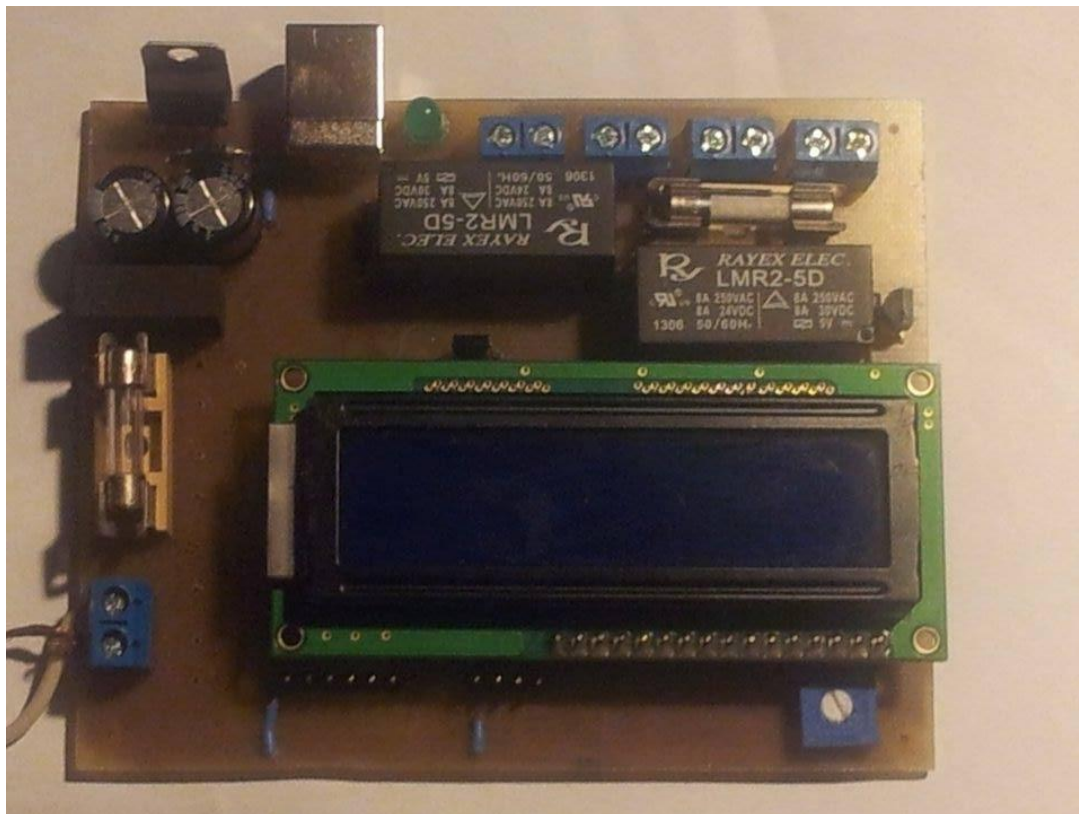
Pojistka F2 chrání zdroj před přetížením. Na něj je napojen usměrňovací můstek, který usměrňuje střídavé napětí na stejnosměrné. Následují kondenzátory C11 a C9, které filtrují napětí. Dioda D2 chrání LM317 před větší hodnotou napětí na výstupu než na vstupu. LM317 zajišťuje stabilizaci napětí. Odpor R6 a R7 nastavují výstupní napětí. D3 zabraňuje, aby napětí na pinu ADJ nebylo vyšší než na výstupu. Kondenzátor C7 blokuje referenční napětí stabilizátoru. C8 a C10 filtrují výstupní napětí.



Obr. 3.2 – Schéma zapojení zdroje

3.3 REGULAČNÍ ZAŘÍZENÍ

Regulační zařízení je nejdůležitější částí celého regulačního systému. Při jeho vytvoření jsem měl nejvíce problémů od malých závad až po zkrat Graetzova můstku, zničil se mi i mikroprocesor ATmega48, ale i přes tyto problémy se mi podařilo sestavit funkční zařízení, které reguluje dle mých počátečních představ. Toto zařízení obstarává veškerou komunikaci s PCi novou termostatickou hlavicí. Je vybavena displejem pro zobrazení času a aktuální teploty v místnosti. Zařízení také obstarává veškerou regulaci podle nastavených předem definovaných požadovaných hodnot. Obsahuje USB konektor pro komunikaci s PC, displej pro zobrazení aktuální teploty v místnosti, času, polohy ventilu a rozsah otáčení motorku, trimer sloužící pro nastavení podsvícení displeje, diodu pro signalizaci zapnutí a jako kontrolku komunikace při nahrávání dat z PC do zařízení. Zařízení je také vybaveno dvěma pojistkami, které chrání důležité části zařízení před zničením. Dále relé, které při překročení předem stanovené hodnoty teploty v místnosti sepne zásuvku, do které může být zapojené například externí topení a po něj lze zvýšit tepotu v prostoru na požadovanou.



Obr. 3.3 – Fotografie regulačního zařízení

3.3.1 Popis zapojení regulačního zařízení

Relé K1 a K2 spínají zásuvku dle zadaných kritérií v programu. Pojistka F1 zajišťuje, aby relé K1 a K2 nespínali příliš velký proud. R8 a R9 jsou omezovací odpory. Tranzistory T1 a T3 spínají relé K1 a K2. Diody D1 a D4 chrání tranzistory T1 a T3 před zápornou napěťovou špičkou, kterou vytváří cívka při rozepnutí tranzistoru. SV1 je SPI programovací rozhraní pro programování zařízení. SV2 se používá pro I²C rozhraní pro komunikaci. R3 a R4 jsou „pullup“ rezistory komunikace přes rozhraní I²C. Na tuto sběrnici je připojen i obvod IC6, který obstarává funkci zálohovaných hodin reálného času. Displej DIS1 je připojen k mikroprocesoru. Pin R/W je uzemněn, proto lze do displeje pouze zapisovat. Trimer R10 nastavuje kontrast displeje, R11 zase omezovací odpor pro podsvícení displeje. Tlačítka S1 až S4 jsou zapojena pro budoucí možné uplatnění. C6 je blokovací kondenzátor, jeho zapojení je doporučeno dle datasheetu. Umísťuje se co nejbližší mikroprocesoru. Kombinace R5 a C5 tvoří dolní propust' a filtrují napájení AD převodníku mikroprocesoru. C4 je filtrační kondenzátor referenčního napětí AD převodníku. Za ním je připojeno rozhraní FT232RL, které je popsáno výše.



29

3.4 ZAŘÍZENÍ TERMOHLAVICE

Zařízení termohlavice slouží k regulaci množství teplé vody topení, kdy za pomoci motorku a h-můstku hlavice ovládá termostatický ventil podle požadovaných hodnot, uzavírá nebo naopak otevírá ventil topného tělesa.

3.4.1 Popis zařízení termohlavice

Zařízení bylo vytvořeno z klasické termostatické hlavice, kdy po odříznutí většiny částí zbyla pouze matice pro našroubování na klasický termostatický ventil a malá plastová část. Do této plastové části, byl vyvrtán závit velikosti M8. Na tento závit je přišroubován šroub stejné velikosti (M8), který obsahuje kolečko s dvanácti dírkami, jež zkoumá polohu otevření ventilu pomocí optické závory. Šroubek je napevno připojen k motorku. Motorek je pak pomocí h-můstku otáčen na obě strany. Do plastové části byly také připevněny dvě tyčky, po kterých se motorek pohybuje. K motorku byly přidány dva hliníkové pláty, které s plastovými trubičkami upevňují pohyblivou část zařízení.



Obr. 3.5 – Fotografie zařízení termohlavice

4 GRAFICKÝ SOFTWARE

Grafický software slouží pro uživatelské nastavení zařízení. Umožňuje zadat požadované teploty v místnosti, zobrazit je v grafu a vypsát a jejich grafické zobrazení. Umožňuje také vypsání požadované teploty zapsané v paměti EEPROM.

4.1 POPIS GRAFICKÉ ČÁSTI

Grafické rozhraní bylo vytvořeno pomocí programu JavaScript. V pravém rohu je 24 textových polí sloužících nastavení požadovaných hodnot teploty pro každou hodinu dne. Tlačítko **zapiš teploty** zapisuje hodnoty do paměti EEPROM. Tlačítkem **načti hodnoty** se načtou hodnoty uložené v paměti procesoru. Tlačítko **sync času** synchronizuje čas s aktuální hodnotou na ploše počítače. Dále se v rozhraní nacházejí textová pole pro nastavení spínání zásuvky. Tlačítka **otevři port** a **zavři port** slouží k výběru portu pro komunikaci regulačního zařízení s PC. V dolní části uživatel vidí graf zobrazující průměrné teploty v průběhu 24 hodin.

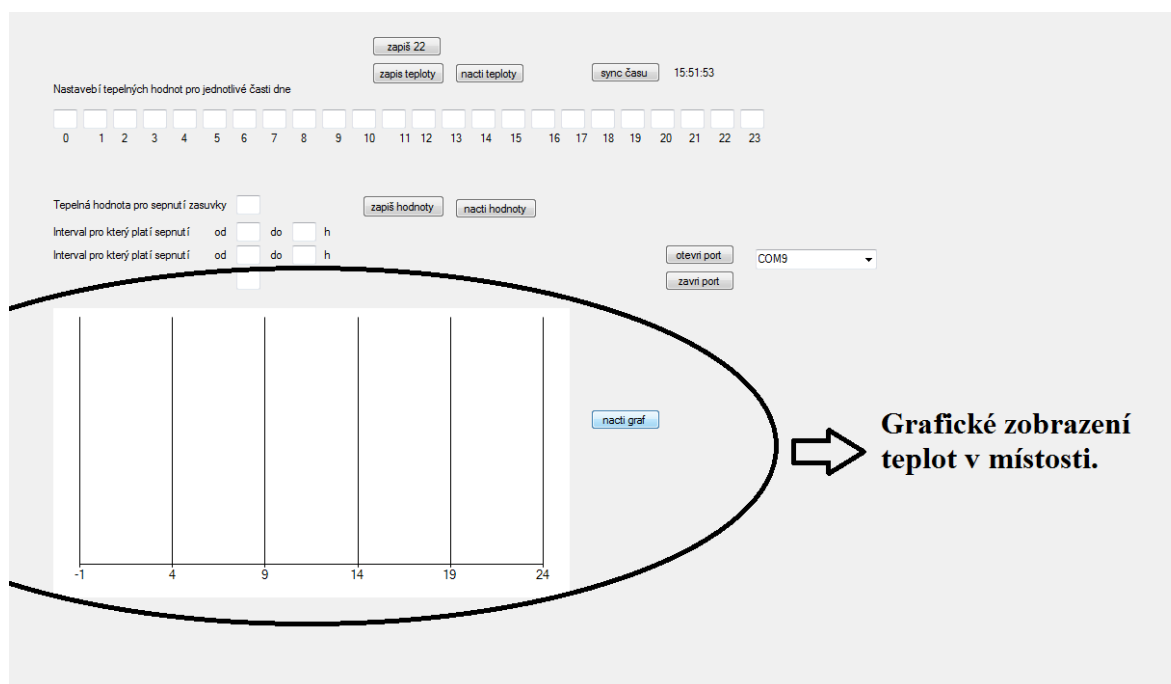
The screenshot shows a web-based interface for configuring a device. At the top, there's a header with buttons: 'zapiš 22', 'zapis teploty', 'načti teploty', 'sync času', and a clock showing '15:51:53'. Below this is a section titled 'Nastavění teplotních hodnot pro jednotlivé části dne' (Setting temperature values for individual parts of the day), which contains 24 input fields numbered 0 to 23. A large black oval highlights this section. Below the input fields are controls for a relay: 'Teplotná hodnota pro sepnutí zásuvky' (Temperature value for relay closing) with an input field, and two 'Interval pro který platí sepnutí' (Interval for which the relay is closed) settings, each with 'od' (from) and 'do' (to) time inputs in hours. There are also buttons 'zapiš hodnoty' and 'načti hodnoty'. At the bottom is a graph area with a vertical axis from -1 to 24 and a horizontal axis with markers at -1, 4, 9, 14, 19, and 24. A large black arrow points from the highlighted input fields section to the text on the right.

Tato část slouží pro nastavení požadovaných hodnot teploty a synchronizaci času

Obr. 4.1 – Nastavení požadovaných hodnot



Obr. 4.2 – Definování sepnutí zásuvky



Obr. 4.3 – Grafické zobrazení

ZÁVĚR

Bylo vytvořeno regulační zařízení, které reguluje teplotu dle zadaných kritérií. Při vhodných příležitostech spíná relé zásuvku, na které může být připojeno externí topení. Nová termostatická hlavice pak pomocí h-můstku a motorku pracuje s nastavením termostatického ventilu. Při stavbě se vyskytlo několik problémů (např. se zapojením sběrnice I²C mezi obě zařízení nebo při snímání polohy ventilu optickou závorou). Také zkratoval Graetzův můstek a následně se zničil obvod ATmega48. I přes všechny tyto problémy se podařilo vytvořit obě zařízení funkční dle výchozích představ. Už teď je jasné, že zařízení bude potřeba ještě upravovat a vylepšovat (například přidáním tlačítek pro ovládání displeje).

Literatura

- 8-bitAtmelMicrocontrollerwith 4/8/16K Bytes In-SystemProgrammableFlash. *Atmel* [online]. Atmel, 2011 [cit. 2015-08-28]. Dostupné z: <http://www.atmel.com/images/doc2545.pdf>
- BABČANÍK, J. *Začínáme s mikroprocesory Atmel AVR* [online]. 2006 [cit. 2014-05-10]. Dostupné z: <http://www.hw.cz/teorie-a-praxe/zaciname-s-mikroprocesory-atmel-avr.html>
- FT232R USB UART IC. *Future Technology Devices International* [online]. FTDI, 2010 [cit. 2015-08-28]. Dostupné z: http://www.ftdichip.com/Support/Documents/DataSheets/ICs/DS_FT232R.pdf
- MATOUŠEK, D. Programování a aplikace mikrořadiče ATimy2314. *Amatérské rádio*. Praha: Magnet-Press, VI/2007, s. 3–40. ISSN 0322-9572.
- MATOUŠEK, D. Programování a aplikace mikrořadiče ATimy2314 (2.díl). *Amatérské rádio*. Praha: Magnet-Press, VII/2007, s. 3–40. ISSN 0322-9572.
- MATZ, V. Využití termostatických ventilů a termostatických hlavíc pro regulaci vytápění. *TZB-info* [online]. 2009 [cit. 2015-08-28]. ISSN 1801-4399. Dostupné z: <http://vytapieni.tzb-info.cz/mereni-a-regulace/5917-vyuziti-termostatickych-ventilu-a-termostatickych-hlavic-pro-regulaci-vytapieni>
- DS1307 64 x 8, Serial, I2C Real-TimeClock. *Maxim Integrated* [online]. Maxim Integrated, 2015 [cit. 2015-08-28]. Dostupné z: <http://datasheets.maximintegrated.com/en/ds/DS1307.pdf>
- Motor controller: H-Bridge. *Botskool* [online]. 2009 [cit. 2015-08-28]. Dostupné z: <http://www.botskool.com/tutorials/electronics/general-electronics/motor-controller-h-bridge>
- OLEJÁR, M. Stručný popis sběrnice I²C a její praktické využití k připojení externí eeprom 24LC256 k mikrokontroléru PIC16F877. *Hw.cz* [online]. 2000 [cit. 2014-05-05]. Dostupné z: <http://www.hw.cz/navrh-obvodu/strucny-popis-sbernice-i2c-a-jeji-prakticke-vyuziti-k-pripojeni-externi-eeeprom-24lc256>
- OLMR, V. HW server představuje - Sériová linka RS-232. *Hw.cz* [online]. 2005 [cit. 2014-05-05]. Dostupné z: <http://www.hw.cz/rozhrani/hw-server-predstavuje-seriova-linka-rs-232.html>
- TA HYDRONICS. Regulace podlahového, stropního a stěnového vytápění a chlazení (I). *TZB-info* [online]. 2006, 13.12.2006 [cit. 2015-08-28]. ISSN 1801-4399. Dostupné z: <http://www.tzb-info.cz/3758-regulace-podlahoveho-stropniho-a-stenoveho-vytapieni-a-chlazen-i>
- 0.5°C Digital OutTemperature Sensor: TMP275. *Texas Instruments* [online]. Texas Instruments, 2006 [cit. 2015-08-28]. Dostupné z: <http://www.ti.com/lit/ds/sbos363d/sbos363d.pdf>
- TŮMA, O. Arduino - pulsně šířková modulace (PWM) v C(++). *Zeropage.cz* [online]. 2011 [cit. 2014-05-19]. Dostupné z: http://zeropage.cz/article/arduino_-_pulsne_sirkova_modulace_pwm_v_c

Přílohy

A – Program ventilu topného tělesa

B – Program regulačního zařízení

C – CD s programem

Příloha k bakalářské práci

Řízení teploty v místnosti pomocí elektrické regulace ventilu topného
tělesa

Marek Lochman

PROGRAM VENTILU TOPNÉHO TĚLESA

```

#include <stdint.h>
#include <avr/io.h>
#include <util/delay.h>
#include <avr/interrupt.h>
#include <avr/sleep.h>
#include <avr/eeprom.h>
#include <avr/pgmspace.h>

#define XTAL 8000000 // frekvence procesoru je 8MHz

// globální proměnné
volatile static uint8_t aktualniPozice = 10; // proměnná s aktuální pozicí
volatile static uint8_t pozice = 14; // proměnná s požadovanou pozicí
volatile static uint8_t pravyDoraz = 0; // koncový spínač
volatile static uint8_t levyDoraz = 0; // druhý koncový spínač
volatile static uint8_t tocitDoprava = 0; // požadovaný směr doprava
volatile static uint8_t tocitDoleva = 0; // požadovaný směr doleva
volatile static uint8_t stavVstupu Pozice = 0; // předchozí hodnota na fototranzistoru
volatile static uint8_t kalib = 0; // kalibrace

//prototypové funkce

void EEPromRead(void);
void EEPromWrite(void);
void init(void);
void init_I2C(void);
void zjistuDorazy(void);
void otocNaPozici(uint8_t);
void otoc(void);
void zjistipozici(void);
void nastavKrajniPoziciPriDorazu(void);
void vypisPozici(uint8_t);
void kalibrace(void);

```

```

ISR(TIMERO_OVF_vect)          // přerušení z přetečení
{

    zjistuDorazy();
    otocNaPozici(pozice);
    otoc();
    zjistiParametry();
    nastavKrajniPoziciPriDorazu();

}

```

Main cyklus

Nekonečný cyklus main obsahuje funkci init(), pro nastavení portu, čítače a předěličky. Funkci init_I2C(), která obsahuje adresu ventilu. Funkci kalibrace () pro nastavení dorazů. Zapnutí přerušení sei()a instrukce pro komunikaci I2C.

```

int main(void)
{
    init();
    init_I2C();
    kalibrace();
    sei();
    while(1)
    {
        while(((TWSR & 0xF8)!= 0x60))
        {

            TWCR=(1<<TWEA)|(1<<TWEN)|(1<<TWINT);
            while (!(TWCR & (1<<TWINT)));

        }

        {

            TWCR= (1<<TWINT)|(1<<TWEA)|(1<<TWEN);
            while (!(TWCR & (1<<TWINT))){

            }

            while(((TWSR & 0xF8)!=0x80)){

```

```

        }
        pozice=TWDR;
    }
    While (((TWSR & 0xF8) != 0xA8))
    {
        TWCR=(1<<TWEA)|(1<<TWEN)|(1<<TWINT);
        while (((TWCR & (1<<TWINT))))
        {
        }
    }
    {
        TWDR= aktualniPozice;
        TWCR= (1<<TWEN)|(1<<TWINT);
        while(((TWSR & 0xF8) != 0xC0)){
        }/
    }

    _delay_ms(50);
}
}

```

Tato část slouží k inicializaci jednotlivých portů, nastavení čítače, předěličky a čtení pozice ventilu z eepromky.

```

void init()
{
    DDRD = 0b00000000;    // port D je vstupní
    PORTD = 0b11100000;    // zapíná pull up rezistory na PD5, PD6, PD7
    TIMSK0 = 0b00000001;    // zapnutí přerušení při přetečení čítače TCO
    TCCR0B = 0b00000100;    // předělička 256
    EEPromRead();           // načte pozici ventilu z eepromky
    DDRB = 0b00000110;    // nastavení pinu Pb1 a Pb2 jako výstupní
    PORTB = 0b00000000;    // nastavení Pb1 a Pb2 na logickou nulu
}

```


Tato část slouží pro nastavení adresy ventilu pro i2c komunikaci.

```
void init_I2C()
{
    TWAR=0x20;           // i2c adresa ventilu
    TWCR = 1;            // podřízený slave
}
```

Tento kód je asi nejdůležitějším z programu ventilu. Obsahuje podmínku kalibrace, funkce na zjištění dorazu, otáčení na pozici, otoč pro zapnutí h-můstku, zjištění pozice pro ovládaní optické závory.

```
void kalibrace()
{
    if(kalib == 1)        // podmínka pro kalibraci
    {
        while(levyDoraz == 0)    // dokud levý doraz je nula
        {
            zjistiDorazy(); // funkce zjišťující dorazy
            otocNaPozici(0);    // nastaví točit doleva, nebo točit doprava
                                // podle požadované pozice
            otoc();             // funkce pro zapnutí h-můstku
            zjistiPozici();     // funkce pro zjištění pozice natočení
            nastavKrajniPoziciPriDorazu(); // funkce pro reset proměnné
                                // aktuální pozice při dorazu
            _delay_ms(50); // funkce čekání 50ms
        }
    }
}
```

```
void EEPROMRead(void)    // přečtení konstant z eepromky
{
    aktualniPozice = eeprom_read_byte((uint8_t*)0); //eeprom přečte aktuální pozice
    if(aktualniPozice > 40) // pokud je větší jak 40 spust kalibraci
    {
        kalib = 1;        // kalibruj
    }
}
```

```

    }
}

void EEPROMWrite(void)
//Přečtení konstant z EEPROMky
{
    eeprom_write_byte((uint8_t*)0,aktualniPozice);
}
Část kodu pro
void zjistuDorazy()
{
    if((PIND & 0b10000000) ==0)        // pokud Pd7 rovná se nule (zapne se
koncový spínač)
    {
        pravyDoraz = 1;
    }
    else
    {
        pravyDoraz = 0;
    }

    if((PIND & 0b01000000) == 0)
    {
        levyDoraz = 1;
    }
    else
    {
        levyDoraz = 0;
    }
}

void otocNaPozici(uint8_t p)
{
    if(p > aktualniPozice) // pokud vstupní hodnota je větší než aktuální
    {
        tocitDoprava = 1;    // toč doprava
        tocitDoleva = 0;    // netočit doleva
    }
    else if(p < aktualniPozice) // pokud je vstupní hodnota menší než aktuální
    {
        tocitDoleva = 1;    // toč doleva
        tocitDoprava = 0;    // netoč doprava
    }
    else if(p == aktualniPozice) // vstupní hodnota stejná s aktuální netoč
    {
        tocitDoleva = 0;    // netočit doleva
        tocitDoprava = 0;    // netočit doprava
    }
}

```

```

void otoc()
{
    if((pravyDoraz == 0)&&(tocitDoprava == 1))
    {
        DDRB |= 0b000000110;      // nastav jako výstupní port Pb1 a Pb2
        PORTB &= ~(0b000000110); // nastav na pozici Pb1 a Pb2 nuly
        PORTB |= 0b000000100;      // nastav na pozici Pb2 jedničku
    }
    else if((levyDoraz == 0)&&(tocitDoleva == 1))
    {
        DDRB |= 0b000000110;      // nastav jako výstupní port Pb1
a Pb2
        PORTB &= ~(0b000000110); // nastaví na pozici Pb1 a Pb2 nuly
        PORTB |= 0b000000010;      // nastav na pozici Pb1 jedničku
    }

    else
    {
        DDRB &= ~(0b000000110);
        PORTB &= ~(0b000000110);
    }
}

void zjistPozici()
{
    if(tocitDoprava == 1)          // pokud se točí doprava
    {
        if(((PIND & 0b00100000) != stavVstupuPozice) && (PIND & 0b00100000)==0)

        // pokud stav Pd5 nerovná se stavVstupuPozice a zároveň stav Pd5 rovná se nula.
        {
            aktualniPozice++;      // Přičti jedničku do aktuální Pozice
            EEPromWrite();         // zapiš aktuální pozici do eepromky
        }
    }
    if(tocitDoleva == 1)          // pokud se točí doleva
    {
        if(((PIND & 0b00100000) != stavVstupuPozice) && (PIND & 0b00100000)==0)
        {
            if(aktualniPozice>0) //
            aktualniPozice--;     // odečti jedničku od aktuální pozice
            EEPromWrite();        // zapiš aktuální pozici do eepromky
        }
    }
    stavVstupuPozice = ((PIND & 0b00100000));
}

```

```
void nastavKrajniPoziciPriDorazu() // funkce pro zjištění krajních dorazů
{
    if((levyDoraz == 1))           //pokud je na dorazu nastaví pozici na 0
    {
        aktualniPozice = 0;
    }
    if((pravyDoraz == 1))          //pokud je na druhém dorazu nastav na 40
    {
        aktualniPozice = 40;
    }
}
```

Příloha k bakalářské práci

Řízení teploty v místnosti pomocí elektrické regulace ventilu topného
tělesa

Marek Lochman

PROGRAM REGULAČNÍHO ZAŘÍZENÍ

```

#include <stdint.h>

#include <avr/io.h>
#include <util/delay.h>
#include <avr/interrupt.h>
#include <avr/sleep.h>
#include <avr/pgmspace.h>
#include <avr/eeprom.h>
#include "twi_lib.c"
#include "lcd.c"


#define Ventil1 0x20    //adresa ventilu je 20
#define Teplomer1 0b10011110 // je zvolen 12 bitový rámec
#define RTC 0b11010000    // adresa hodin
#define F_CPU 8000000ul    // adresa procesoru
#define USART_BAUDRATE 9600
#define UBRR_VALUE (((F_CPU / (USART_BAUDRATE * 16UL))) - 1)


// definování statických proměnných
static uint8_t hod, min, sec, hodp;
static char UARTbuffer[10];
static int8_t teploty[24];
static int8_t teplrele1 = 0;
static uint8_t casrele1od = 0;
static uint8_t casrele1do = 0;
static int8_t teplrele2 = 0;
static uint8_t casrele2od = 0;
static uint8_t casrele2do = 0;
static uint16_t aktualniteplota;
static uint8_t ventil = 0;
static uint8_t ventila = 0;


ISR(USART_RX_vect)
{

```

```

    posunbuffer();
    UARTbuffer[0]=UDR0;
    vetveni();
}

void eepromReadData()    // funkce pro čtení dat z eeprom
{
    for(uint8_t i = 0; i<24 ; i++)    // cyklus pro 24 hodnot teploty
    {
        teploty[i] = eeprom_read_byte((uint8_t*)i);
    }
    teplrele1 = eeprom_read_byte((uint8_t*)24);
    casrele1od = eeprom_read_byte((uint8_t*)25);
    casrele1do = eeprom_read_byte((uint8_t*)26);
    teplrele2 = eeprom_read_byte((uint8_t*)27);
    casrele2od = eeprom_read_byte((uint8_t*)28);
    casrele2do = eeprom_read_byte((uint8_t*)29);
}

uint8_t zaznTepl(uint8_t hour)
{
    return eeprom_read_byte((uint8_t*)hour+30);
}

void eepromWriteData()    funkce pro zápis teplot
{
    for(uint8_t i = 0; i<24; i++)
    {
        eeprom_update_byte (( uint8_t *) i, teploty[i] );
    }
    eeprom_update_byte (( uint8_t *) 24, teplrele1 );
    eeprom_update_byte (( uint8_t *) 25, casrele1od );
    eeprom_update_byte (( uint8_t *) 26, casrele1do );
    eeprom_update_byte (( uint8_t *) 27, teplrele2 );

    eeprom_update_byte (( uint8_t *) 28, casrele2od );
    eeprom_update_byte (( uint8_t *) 29, casrele2do );
}

```

```

}
void vetveni()    // funkce větvení
{
    if((UARTbuffer[2]=='g')&&(UARTbuffer[1]=='t')&&(UARTbuffer[0]=='1'))
    {
        poslibyteUSART('a');
        poslibyteUSART('h');
        poslibyteUSART('o');
        poslibyteUSART('j');
    }
    if((UARTbuffer[8]=='s')&&(UARTbuffer[7]=='t'))
    {
        if((UARTbuffer[6]=='m'))
        {
            nastavcas(((UARTbuffer[5]-48)*10+(UARTbuffer[4]-48)),((UARTbuffer[3]-
48)*10+(UARTbuffer[2]-48)),((UARTbuffer[1]-48)*10+(UARTbuffer[0]-48))); // nastavní
času
        }
        for(uint8_t i = 0; i<24; i++)
        {
            if((UARTbuffer[6]==(i/10+48))&&(UARTbuffer[5]==(i%10+48)))
            {
                teploty[i] = ((UARTbuffer[4]-48)*10+(UARTbuffer[3]-48));
                poslibyteUSART(teploty[i]/10+48);
                poslibyteUSART(teploty[i]%10+48);
            }
        }
        eepromWriteData(); // funkce zápisu dat
    }

    if((UARTbuffer[5]=='s')&&(UARTbuffer[4]=='r'))
    {

```



```

if(UARTbuffer[3]=='t')
{
    if((UARTbuffer[2]-48) == 1)        {
        teplrele1 = (UARTbuffer[1]-48)*10+(UARTbuffer[0]-48);
    }
    if((UARTbuffer[2]-48) == 2)
    {
        teplrele2 = (UARTbuffer[1]-48)*10+(UARTbuffer[0]-48);
    }
}
if(UARTbuffer[3]=='o')
{
    if((UARTbuffer[2]-48) == 1)
    {
        casrele1od = (UARTbuffer[1]-48)*10+(UARTbuffer[0]-48);
    }
    if((UARTbuffer[2]-48) == 2)
    {
        casrele2od = (UARTbuffer[1]-48)*10+(UARTbuffer[0]-48);
    }
}
if(UARTbuffer[3]=='d')
{
    if((UARTbuffer[2]-48) == 1)
    {
        casrele1do = (UARTbuffer[1]-48)*10+(UARTbuffer[0]-48)
    }
    if((UARTbuffer[2]-48) == 2)
    {
        casrele2do = (UARTbuffer[1]-48)*10+(UARTbuffer[0]-48);
    }
}
eepromWriteData();
}

```

```

if((UARTbuffer[4]=='a')&&(UARTbuffer[3]=='f')&&(UARTbuffer[2]=='t'))
{
    for(uint8_t i = 0; i<24; i++)
    {
        if((UARTbuffer[1]==(i/10+48))&&(UARTbuffer[0]==(i%10+48)))
        {
            poslibyteUSART(teploty[i]/10+48);
            poslibyteUSART(teploty[i]%10+48);
        }
    }
}

if((UARTbuffer[3]=='a')&&(UARTbuffer[2]=='f')&&(UARTbuffer[1]=='r'))    {
    if((UARTbuffer[0]-48) == 1)
    {
        poslibyteUSART(teplrele1/10+48);
        poslibyteUSART(teplrele1%10+48);
    }
    if((UARTbuffer[0]-48) == 2) // nevím
    {
        poslibyteUSART(teplrele2/10+48);
        poslibyteUSART(teplrele2%10+48);
    }
}

if((UARTbuffer[3]=='a')&&(UARTbuffer[2]=='f')&&(UARTbuffer[1]=='o'))
{
    if((UARTbuffer[0]-48) == 1)
    {
        poslibyteUSART(casrele1od/10+48);
        poslibyteUSART(casrele1od%10+48);
    }

    if((UARTbuffer[0]-48) == 2)

    {

```

```

        poslibyteUSART(casrele2od/10+48);
        poslibyteUSART(casrele2od% 10+48);
    }
}
if((UARTbuffer[3]=='a')&&(UARTbuffer[2]=='f')&&(UARTbuffer[1]=='d'))
{
    if((UARTbuffer[0]-48) == 1)
    {
        poslibyteUSART(casrele1do/10+48);
        poslibyteUSART(casrele1do% 10+48);
    }
    if((UARTbuffer[0]-48) == 2)
    {
        poslibyteUSART(casrele2do/10+48);
        poslibyteUSART(casrele2do% 10+48); // nevm
    }
}
if((UARTbuffer[4]=='a')&&(UARTbuffer[3]=='f')&&(UARTbuffer[2]=='l'))
{
    uint8_t d = zaznTepl((UARTbuffer[1]-48)*10+(UARTbuffer[0]-48));
    poslibyteUSART(d/10+48);
    poslibyteUSART(d% 10+48);
}
}

void posunbuffer()// nevím
{
    for(uint8_t i = 9; i>=1 ; i--) // nevím
    {
        UARTbuffer[i] = UARTbuffer[i-1]; // nevím
    }
}

Void inicializace() // Inicializace
{
    eepromReadData(); // čtení dat s eepromky

```

```

    DDRB = 0b00000110;
    TWSR = 0; /* no prescaler */
    TWBR = 32; /* must be > 10 for stable operation */
    TWCR=(0<<TWINT|1<<TWEA|1<<TWEN);
    i2c_init(); // zapnutí i2c

    lcd_init(LCD_DISP_ON); //inicializace LCD, připojen na PortC
    lcd_puts_p(PSTR("ahoj")); //uvodni text
    sei(); // Zapnutí přerušení
}

void nastavteplomer()
{
    i2c_start_wait(Teplomer1+I2C_WRITE);
    i2c_write(0b00000001); // nevím
    i2c_write(0b01100000); // přenos informací
    i2c_stop(); // konec přenosu
}

uint16_t ctiteplotu() //funkce pro čtení teploty
{
    uint16_t temp;
    i2c_start_wait(Teplomer1+I2C_WRITE);
    i2c_write(0);
    i2c_rep_start(Teplomer1+I2C_READ);
    temp = i2c_readAck()*16;
    temp += i2c_readAck()/16;
    temp *= 10;
    temp /= 16;
    i2c_stop(); // konec i2c přenosu
    return temp; // Opakování smyčky
}

uint8_t nastavventil(uint8_t hodnota) // funkce pro nastavení pozice
{
    uint8_t temp;

```

```

    i2c_start_wait(Ventil1+I2C_WRITE);
    i2c_write(hodnota);
    i2c_rep_start(Ventil1+I2C_READ);
    temp = i2c_readNak();
    i2c_stop();
    return temp;
}

void nastavcas(uint8_t hodiny, uint8_t minuty, uint8_t sekundy)
{
    i2c_start_wait(RTC+I2C_WRITE);
    i2c_write(0x00);
    i2c_write((((sekundy/10)*16+(sekundy%10))&0b01111111));
    i2c_write((((minuty/10)*16+(minuty%10))));
    i2c_write((((hodiny/10)*16+(hodiny%10))));
    i2c_stop(); // konec i2c komunikace
}

void nastavdatum(uint8_t roky, uint8_t mesice, uint8_t dny)
{
    i2c_start_wait(RTC+I2C_WRITE);
    i2c_write(0x04);
    i2c_write((((dny/10)*16+(dny%10))));
    i2c_write((((mesice/10)*16+(mesice%10))));
    i2c_write((((roky/10)*16+(roky%10))));
    i2c_stop();
}

void cticas() // metoda pro čtení času
{
    uint8_t temp;
    i2c_start_wait(RTC+I2C_WRITE);
    i2c_write(0x00);
    i2c_rep_start(RTC+I2C_READ);
    temp = i2c_readAck();

    sec = (temp&0b00001111) + (((temp&0b01110000)/16)*10);

```

```

temp = i2c_readAck();
min = (temp&0b00001111) + (((temp&0b01110000)/16)*10);
temp = i2c_readNak();
hod = (temp&0b00001111) + (((temp&0b01110000)/16)*10);
i2c_stop();
if(hodp!= hod)
{
    eeprom_update_byte (( uint8_t *) (30+hod), aktualniteplota/10 );
    hodp = hod;
}
}

void sepnirele1() // sepní rele
{
    PORTB |= 0b00000010;
}

void sepnirele2() // sepní rele2
{
    PORTB |= 0b00000100;
}

void vypnirele1() //vypnutí rele1
{
    PORTB &= ~(0b00000010);
}

void vypnirele2() vypnutí rele 2
{
    PORTB &= ~(0b00000100);
}

void poslibyteUSART(uint8_t u8Data)
{
    while (!(UCSR0A & (1<<UDRE0))); // Wait if a byte is being transmitted
    UDR0 = u8Data;    // Transmit data
}

```

```

void nastavUSART()
{
    UBRR0= UBRR_VALUE;
    UCSR0B=(1<<RXCIE0)|(1<<RXEN0)|(1<<TXEN0);
    UCSR0C=(3<<UCSZ00);    }
void regulace() // funkce pro regulaci
{
    int8_t rozdil = aktualniteplota-teploty[hod]*10;
    if(rozdil > 10)
    {
        ventil = 0;
    }
    else if(rozdil < -10)
    {
        ventil = 40;
    }
    Else
    {
        ventil = (-rozdil+10)*2;
    }
    if(casrele1od<casrele1do)
    {
        if((hod>=casrele1od)&&(hod<=casrele1do))
        {
            if((teplrele1*10) > aktualniteplota)
                sepnirele1();
            else
                vypnirele1();
        }
        else
            vypnirele1();
    }
}

```

```

else
{
    if((hod>=casrele1od)||(hod<=casrele1do))
    {
        if((teplrele1*10) > aktualniteplota)
            sepnirele1();
        else
            vypnirele1();
    }
    else
        vypnirele1();
}
if(casrele2od<casrele2do)
{
    if((hod>=casrele2od)&&(hod<=casrele2do))
    {
        if((teplrele2*10) > aktualniteplota)
            sepnirele2(); // volání funkce sepni rele2
        else // nevím
            vypnirele2(); // volání funkce vypni rele2
    }
    else
        vypnirele2();// volání funkce vypni rele2
}
else
{
    if((hod>=casrele2od)||(hod<=casrele2do))
    {
        if((teplrele2*10) > aktualniteplota)
            sepnirele2();// volání funkce sepni rele2
        else
            vypnirele2();// volání funkce vypni rele2
    }
}

```



```

        else

            vypnirele2();// volání funkce vypni rele2

        }

//  poslibyteUSART(ventil/10+48);

//  poslibyteUSART(ventil%10+48);

}

```

```

int main()

{
    inicializace();
    nastavUSART();
    nastavteplomer();
//  nastavcas(0,48,0);
//  nastavdatum(14,4,21);
    uint8_t buffer[5];
    uint8_t i;
    for(;;)
    {
        cticas();
        aktualniteplota = ctiteplotu();
        regulace();
        ventila = nastavventil(ventil);
    }
}

```

```

lcd_gotoxy(0,0);
itoa(aktualniteplota,buffer,10);
lcd_putc(buffer[0]);
lcd_putc(buffer[1]);
lcd_putc(buffer[2]);
lcd_putc(buffer[3]);
lcd_putc(' ');
itoa(hod,buffer,10);
if(hod>10)
{
    lcd_putc(buffer[0]);
    lcd_putc(buffer[1]);
}
else
{
    lcd_putc('0');
    lcd_putc(buffer[0]);
}
lcd_putc(':');
itoa(min,buffer,10);
if(min>10)
{
    lcd_putc(buffer[0]);
    lcd_putc(buffer[1]);
}
else
{
    lcd_putc('0');
    lcd_putc(buffer[0]);
}
lcd_putc(':');;
itoa(sec,buffer,10);
if(sec>10)

```

```

    {
        lcd_putc(buffer[0]);
        lcd_putc(buffer[1]);
    }
else
{
    lcd_putc('0');
    lcd_putc(buffer[0]);
}
lcd_putc(' ');
lcd_gotoxy(0,1);
itoa(ventil,buffer,10);
lcd_putc(buffer[0]);
lcd_putc(buffer[1]);
lcd_putc(buffer[2]);
lcd_putc(buffer[3]);
itoa(ventila,buffer,10);
lcd_putc(buffer[0]);
lcd_putc(buffer[1]);
lcd_putc(buffer[2]);
lcd_putc(buffer[3]);
/* itoa(temp,buffer,10);
while(buffer[i]!=0)
{
    poslibyteUSART(buffer[i]);
    buffer[i]=0;
    i++;
}
poslibyteUSART(' ');*/
i=0;
}
}

```

Příloha k bakalářské práci

Řízení teploty v místnosti pomocí elektrické regulace ventilu topného
tělesa

Marek Lochman

CD S PROGRAMEM

Obsah

LochmanM_ŘízeníTeploty_LK_2015.pdf

Program regulačního zařízení

Program regulačního přípravku

Grafické prostředí